

STICHTING
MATHEMATISCH CENTRUM
2e BOERHAAVESTRAAT 49
AMSTERDAM

REKENAFDELING

Rapport R 611

Programma's voor berekeningen aan scheepsschroefontwerpen

door

J. A. Th. M. van Berckel en M. L. Potters

Januari 1962

PROGRAMMA'S VOOR BEREKENINGEN AAN SCHEEPSSCHROEFONTWERPEN

door

J.A.Th.M.van Berckel en M.L.Potters

R. 611

1. Inleiding.

Dit rapport behelst een beschrijving van en handleiding voor de programma's, door ons opgesteld in opdracht van het Nederlandsch Scheepsbouwkundig Proefstation te Wageningen. Het betreft vier min of meer zelfstandige berekeningen - in het vervolg aangeduid met het MC-opdrachtnummer - op basis van de volgende NSP-rapporten:

<u>Rapport NSP:</u>	<u>Titel:</u>	<u>Opdracht MC:</u>
WO 14-52-3	Het schroefontwerp met behulp van inductiefactoren.	R 476
WO 25-52-4	Idem - vervolg (sterkteberekening).	R 544
WO 47-52-6	Analyse van een gegeven schroef in een gegeven veld.	R 572
WO 46-52-5	Scheepsschroeven met voorgeschreven type circulatieverdeling.	R 573

In het volgende wordt een overzicht gegeven van het gebruikte formularium en de numerieke uitwerking daarvan, waarna in beknopte vorm gegevens over de programmatechnische realisering volgen. De notatie is uit de genoemde rapporten overgenomen op kleine wijzigingen na. De programma's zijn gemaakt voor de electronische rekenmachine X1 van het Mathematisch Centrum en later aangepast aan de X1 van het NSP.

Van het programma R 476 was oorspronkelijk een ARMAC-versie opgesteld.

2. Formularium.

a) Algemeen

(i) Uit de circulatieverdeling $G(x)$ volgen

$$\text{de geïnduceerde snelheden } \frac{w^a}{v_e} = \frac{1}{2} \int_{x_n}^1 i^a \frac{dG}{dx_0} \frac{dx_0}{x-x_0}, \quad (2.1a)$$

$$\frac{w^t}{v_e} = \frac{1}{2} \int_{x_n}^1 i^t \frac{dG}{dx_0} \frac{dx_0}{x-x_0}, \quad (2.1b)$$

$$\begin{aligned} \text{het product lift-} & \frac{C_L \cdot l}{D} = \frac{2\pi G \cos \beta_i}{\frac{1}{\tan \beta} - \frac{w^t}{v_e}}, \\ \text{coefficient en} & \\ \text{koorde} & \end{aligned} \quad (2.2)$$

$$\text{de stuwkracht- en vermogensconstante} \quad C_{T_i} = 4z \int_{x_n}^1 G(1-w_x)^2 \left(\frac{1}{\tan \beta} - \frac{w^t}{v_e} \right) dx, \quad (2.3a)$$

$$C_{P_i} = 4z \int_{x_n}^1 G \frac{(1-w_x)^3}{\tan \beta} \left(1 + \frac{w^a}{v_e} \right) dx \quad (2.3b)$$

Tussen w^a en w^t bestaat de betrekking

$$1 + \frac{w^a}{v_e} = \tan \beta_i \left(\frac{1}{\tan \beta} - \frac{w^t}{v_e} \right) \quad (2.4)$$

en verder geldt

$$\tan \beta = \frac{v_s (1-w_x)}{\pi n D x}, \quad (2.5)$$

$$\tan \beta_i = \frac{1}{n_{P_i}} \left(\frac{1-w_x}{1-w_x} \right)^{3/4} \tan \beta. \quad (2.6)$$

$$\begin{aligned} \text{(ii) De inductiefactoren } i^a \text{ en } i^t \text{ in (2.1) zijn als volgt gedefinieerd:} \\ \text{voor } x > x_0 \quad i^a = \left(\frac{x}{x_0} - 1 \right) \frac{z}{\tan \beta_{i,0}} A^*, \quad i^t = \left(1 - \frac{x_0}{x} \right) z (1+A^*), \quad (2.7a) \end{aligned}$$

$$\text{voor } x = x_0 \quad i^a = \cos \beta_{i,0}, \quad i^t = \sin \beta_{i,0} \quad (2.7b)$$

$$\text{voor } x < x_0 \quad i^a = \left(1 - \frac{x}{x_0} \right) \frac{z}{\tan \beta_{i,0}} (1+B^*), \quad i^t = \left(\frac{x_0}{x} - 1 \right) z B^* \quad (2.7c)$$

$$\text{met } A^* = \frac{2zA}{\tan \beta_{i,0}} , \quad B^* = \frac{2zB}{\tan \beta_{i,0}} .$$

Voor A^* en B^* worden de volgende, aan Wrench ontleende, benaderingsformules gebruikt:

$$A^* = f \left(\frac{1}{u-1} - \frac{1}{24z} g \ln \frac{u}{u-1} \right) , \quad (2.8a)$$

$$B^* = f \left(\frac{u}{1-u} + \frac{1}{24z} g \ln \frac{1}{1-u} \right) , \quad (2.8b)$$

$$\text{waarin } f = \sin^{-1/2} \beta_{i,0} \cdot p^{-1/4} ,$$

$$g = \sin^3 \beta_{i,0} \left(\frac{2+9}{\tan^2 \beta_{i,0}} \right) + (3p-5)p^{-3/2} ,$$

$$u = \exp \left[z \left\{ \ln \left((p^{1/2}-1) \left(\frac{1}{\sin \beta_{i,0}} - 1 \right)^{-1} \frac{x_0}{x} \right) + p^{1/2} \frac{x_0}{\sin \beta_{i,0}} \right\} \right]$$

$$p = 1 + \frac{x^2}{x_0^2 \tan^2 \beta_{i,0}} .$$

(iii) Worden in plaats van x en x_0 ingevoerd de variabelen φ en φ_0 volgens

$$2x = 1 + x_n - (1-x_n) \cos \varphi , \quad 0 \leq \varphi , \quad \varphi_0 \leq \pi \quad (2.9)$$

$$2x_0 = 1 + x_n - (1-x_n) \cos \varphi_0 ,$$

dan kunnen $G(x)$ en $i^{a,t}(x, x_0)$ als volgt in Fourier reeksen ontwikkeld worden :

$$G(x) = \sum_{\mu=1}^{\infty} G_{\mu} \sin \mu \varphi \quad (2.10a)$$

of

$$\frac{G(x)}{\sin \varphi} = \frac{1-x_n}{\pi} \sum_{\mu=1}^{\infty} \frac{G_{\mu}^*}{\mu} S_{\mu}(\varphi) , \quad (2.10b)$$

$$i^{a,t}(x, x_0) = \sum_{\nu=0}^{\infty} I_{\nu}^{a,t}(\varphi) \cos \nu \varphi_0 , \quad (2.11)$$

$$\text{waarin } S_{\mu}(\varphi) = \frac{\sin \mu \varphi}{\sin \varphi} , \quad G_{\mu}^* = \frac{\pi}{1-x_n} \mu G_{\mu} .$$

Substitutie hiervan in (2.1) geeft

$$\frac{w_{v_e}^{a,t}}{v_e} = \sum_{\mu=1}^{\infty} G_{\mu} \frac{h_{\mu}^{a,t}(\varphi)}{\pi} \quad (2.12)$$

waarin

$$\frac{h_{\mu}^{a,t}(\varphi)}{\pi} = \tilde{s}_{\mu}(\varphi) \sum_{v=0}^{\mu} I_v^{a,t} \cos v\varphi + \cos \mu\varphi \sum_{v=\mu+1}^{\infty} I_v^{a,t} s_v(\varphi) \quad (2.13)$$

(iv) In alle berekeningen wordt aangenomen $x_n = 0.2$, terwijl x en x_0 de waarden $0.2 + 0.1 * j$, $j=0(1)8$ doorlopen. De corresponderende waarden van $\cos \varphi_j$ en $\sin \varphi_j$ zijn gegeven in Tabel I. Stelt men $I_v=0$ voor $v \geq 9$, dan volgt uit (2.11) voor $j=0(1)8$ een stelsel lineaire vergelijkingen in I_v waarvan de oplossing geschreven kan worden als

$$I_v^{a,t}(\varphi_j) = \sum_{k=0}^8 \alpha_{v,k} i^{a,t}(x_j, x_{0,k}) \quad (2.14)$$

De elementen van de matrix $(\alpha_{v,k})$ zijn in tabel II gegeven. Deze matrix is de inverse van de matrix $(\cos v \varphi_j)$

Tabel I

j	x_j	$\cos \varphi_j$	$\sin \varphi_j$
0	.2	1	0
1	.3	.75	.66143783
2	.4	.5	.86602540
3	.5	.25	.96824584
4	.6	0	1
5	.7	-.25	.96824584
6	.8	-.5	.86602540
7	.9	-.75	.66143783
8	1.0	-1	0

Tabel II

$\checkmark \backslash k$	0/8	1/7	2/6	3/5	4
0	+.10952381	+.27936508	-.20000000	+.53333333	-.44444444
1	$\pm .21904762$	$\pm .41904762$	$\mp .20000000$	$\pm .26666667$	0
2	+.19285714	+.27936503	-.53333333	+.53333333	-.94444444
3	$\pm .16666667$	0	$\mp .33333333$	0	0
4	+.12777778	-.17777773	-.15555556	+.17777778	+.05555556
5	$\pm .08888889$	$\mp .26666667$	$\pm .17777778$	$\pm .08888889$	0
6	+.05714286	-.27936508	+.53333333	-.53333333	+.44444444
7	$\pm .02539683$	$\mp .15238095$	$\pm .35555556$	$\mp .35555556$	0
8	+.01269841	-.10158730	+.35555556	-.71111111	+.88888889

b) Berekening R 476

(i)

Het doel hiervan is de berekening van $G(x)$. Substitutie van (2.12) in (2.4) levert

$$\sum_{\mu=1}^{\infty} G_{\mu}^{*} \left[h_{\mu}^a(\varphi)/\pi + \operatorname{tg} \beta_i h_{\mu}^t(\varphi)/\pi \right] = \frac{\operatorname{tg} \beta_i}{\operatorname{tg} \beta} - 1 \quad (2.15)$$

Door hierin $\varphi = \varphi_j$, $j=0(1)9$, te kiezen en te stellen $G_{\mu}^{*} = 0$ voor $\mu > 9$ verkrijgt men een lineair stelsel van de orde 9 voor G_{μ}^{*} , $\mu=1(1)9$.

Uit (2.10) en (2.12) volgen dan G en $\frac{w_{a,t}}{v_e}$. waarna C_{T_i} en C_{P_i} uit (2.3) en C_L /D uit (2.2) berekend kunnen worden.

(ii)

De functie $G(x)$ heeft wortelsingulariteiten in $x=0.2$ en $x=1$.

Voor de numerieke integratie van (2.3) werd daarom een formule van het volgende type toegepast:

$$\int_{0.2}^1 f(x) \sqrt{(x-0.2)(1-x)} dx = \sum_{j=0}^8 w_j f(x_j) \quad (2.16)$$

Benadert men $f(x)$ met 4 tweedegraads secties dan worden de w_j als in tabel III. Ter vergelijking zijn de coëfficiënten aangegeven die men bij toepassing van de regel van Simpson vindt.

Tabel III

j	w_j	w_j (Simpson)
0,8	.0031868267	0
1,7	.0339208355	.0352766841
2,6	.0237772794	.0230940103
3,5	.0512689615	.0516397779
4	.0270196062	.0265666667

Schrijft men nu in (2.3) $G = 2.5 \frac{G}{\sin \varphi} \sqrt{(x-0.2)(1-x)}$, waarin $\frac{G}{\sin \varphi}$ uit (2.10) volgt dan kan (2.16) gebruikt worden.

(iii)

Voor de waarde van het ideële schroefrendement n_{P_i} is slechts een schatting $[n_{P_i}]_{kr}$ uit het Kramer-diagram bekend.

De berekening wordt nu uitgevoerd met $\eta_{P_i} = [\eta_{P_i}] / k$ voor $k=0.95(0.05)1.05$.

Door tweede-graads inverse interpolatie wordt dan de waarde k^* bepaald waarvoor hetzij C_{T_i} hetzij C_{P_i} een voorgeschreven waarde heeft, welke volgt uit

$$C_{T_i}^* = \frac{\beta T_1}{\pi p V_S^2 D^2}, \quad (2.17a)$$

$$C_{P_i}^* = \frac{8 P_i}{\pi p V_S^3 D} \quad (2.17b)$$

Duidt men $C_{T_i}(k)$ resp $C_{P_i}(k)$ aan met f_k , dan geldt

$$k^* = 1 + \frac{0.2 \times a}{b + \sqrt{b^2 + 8ac}} \quad (2.18)$$

waarin $a=f^* - f_{1.00}$, $b=f_{1.05}-f_{.95}$, $c=f_{1.05}-2f_{1.00}+f_{.95}$.

Met de gevonden k^* wordt de definitieve berekening uitgevoerd.

c) Berekening R 544

(i)

Het doel hiervan is allereerst de berekening van de functies $C_L \cdot l$ en f/l .

Deze worden voor elke x bepaald met behulp van de volgende niet-lineaire vergelijkingen:

$$C_L \cdot l = \frac{C_L \cdot l}{D} \cdot D \quad (\text{belastingsvoorwaarde}), \quad (2.19)$$

$$1.160 \frac{s}{l} + .278 C_L = \sqrt{1+s_x} \sim .998 \quad (\text{cavitevoorwaarde}), \quad (2.20)$$

$$\frac{f}{l} = .0679 \cdot C_L \quad (\text{stootvrijevoorwaarde}), \quad (2.21)$$

$$.087 s^2 l = w_x^* \quad (\text{sterktevoorwaarde}), \quad (2.22)$$

Hierin wordt $\frac{C_L \cdot l}{D}$ als bekend verondersteld, terwijl σ_x en w_x^* volgen uit

$$\sigma_x = .8 \frac{p_o - e - \frac{1}{2} \rho D x}{\tau(x)} \quad (2.23)$$

$$w_x^* = \frac{D^3}{46T \cos^2 \epsilon} \int_x^{1.0} \left(\frac{C_L \cdot l}{D} \right) x_o \tau(x_o) \cos(\beta_i - \beta_{i,o}) (x_o - x) dx_o, \quad (2.24)$$

$$\text{waarin } \tau(x) = \frac{1}{2} \rho V^2 = \frac{\frac{1}{2} \rho \{ \pi n D x (1 + \tan \beta_i \tan \beta) \}^2}{1 + \tan^2 \beta_i} \quad (2.25)$$

Tenslotte wordt berekend de spoedverhouding

$$\frac{H}{D} = \pi x \tan(\beta_i + \Delta \alpha) \quad (2.26)$$

waarin

$$\Delta \alpha = 1.16 C_L \pi / 180$$

en de gemiddelde virtuele spoed

$$\left(\frac{H}{D} \right)_{\text{gem}} = \frac{\int_0^{1.0} \pi x^2 l \tan(\beta_i + 9.12 C_L \pi / 180) dx}{\int_0^{1.0} x l dx} \quad (2.27)$$

(ii)

De integraal in (2.24) werd herleid tot herhaalde integralen waarin de integranden functies van slechts één variabele zijn, namelijk

$$w^*(x) = \frac{D^3}{4\sigma_T \cos^2 z} \left[\cos \beta_i \int_x^1 dx_0 \int_{x_0}^1 du f_1(u) + \sin \beta_i \int_x^1 dx_0 \int_{x_0}^1 du f_2(u) \right] \quad (2.28)$$

waarin $f_1(x) = \left(\frac{C_L \cdot l}{D} \right)_x \tau(x) \cos \beta_i$

$$f_2(x) = \left(\frac{C_L \cdot l}{D} \right)_x \tau(x) \sin \beta_i$$

De in (2.28) voorkomende lopende integralen $F(x) = \int_x^1 f(t) dt$ worden berekend met - afhankelijk van x - de regel van Simpson, de $\frac{3}{8}$ - regel of een combinatie van beide. De in deze paragraaf voorkomende integralen $\int_{0.2}^1 f(t) dt$ worden eveneens met de regel van Simpson berekend.

(iii)

De vergelijkingen (2.19)-(2.22), te herleiden tot een derdegraads vergelijking in s , werden niet op de gebruikelijk wijze numeriek opgelost, omdat nog aan enige neenvoorwaarden voldaan moest worden.

Voor $x = 0.2$ is gegeven

$$\frac{s_{0.2}}{l_{0.2}} = 0.105 z^{1/2} \quad (2.29)$$

Uit (2.22) volgt dan

$$s_{0.2} = 1.0647 (w_{0.2}^* z^{1/2})^{1/3} \quad (2.30)$$

waarna $l_{0.2}$ uit (2.29) berekend kan worden.

Verder wordt als s_x gekozen, voor $x=0.5(0.1)1.0$, de lineaire functie

$$s_x = (1.15 s_{0.2} - 0.00525 D) - (1.15 s_{0.2} - 0.00875 D)x \quad (2.31)$$

zodat $s_{0.6} = 0.46 s_{0.2}$; (2.32)

$$s_{1.0} = 0.0035 D \quad (2.33)$$

Voor $x=0.5(0.1)0.9$ wordt berekend volgens (2.19) en (2.20)

$$l_x = \frac{1.16 s_x + 0.278 \left(\frac{C_L}{D} \right)_x \cdot D}{\sqrt{1 + s_x} - 0.998} \quad (2.34)$$

terwijl $l_{1.0}=0$ gesteld wordt.

Van de waarden $x=0.7(0.1)0.9$ wordt nu de kleinste bepaald waarvoor geldt

$$5(l_{x+0.1} - l_{x-0.1})(x-0.2) - l_x + l_{0.2} \leq 0. \quad (2.35)$$

Zij deze ξ , dan wordt berekend

$$x_{raak} = 0.2 + \left\{ (\xi - 0.3)(\xi - 0.2) - \frac{A(\xi - 0.3) + l_{0.2} - l_{\xi-0.1}}{B} \right\}^{1/2}, \quad (2.36)$$

$$\alpha_{raak} = A + B(2x_{raak} - 2\xi + 0.1) \quad (2.37)$$

waarin

$$A = 10(l_\xi - l_{\xi-0.1})$$

$$B = 25(l_{\xi-0.2} - l_{\xi-0.1} - l_\xi + l_{\xi+0.1})$$

Voor $x < x_{raak}$ wordt nu de l_x berekend met

$$l_x = \alpha_{raak}(x-0.2) + l_{0.2} \quad (2.38)$$

Voor $x = 0.3(0.1)0.7$ wordt volgens (2.22) de definitieve s_x

berekend als

$$s_x = 3.39 \left(\frac{w_x^*}{l_x} \right)^{1/2} \quad (2.39)$$

Uit (2.19) volgt nu $(C_L)_x$ voor $x=0.2(0.1)0.9$, terwijl voor $x = 1.0$ wordt geëxtrapoleerd

$$(C_L)_{1.0} = 3(C_L)_{0.9} - 3(C_L)_{0.8} + (C_L)_{0.7} \quad (2.40)$$

waarna met (2.21) voor alle x -waarden f/l bepaald wordt.

(iv)

Op de berekende waarden van f/l wordt nog de correctie van Ludwig-Ginzel toegepast:

$$(f/l)_{geom} = \frac{f/l}{k_1(x) k_2(F_a/F, x) k_3(F_a/F, \lambda_i)} \quad (2.41)$$

waarin

$$F_a/F = \frac{2z}{\pi D} \int_{0.2}^{1.0} l_x dx, \quad (\text{bladoppervlakverhouding})$$

$$\lambda_i = 0.7(\operatorname{tg} \beta_i)_{0.7}$$

De functies k_i , oorspronkelijk gegeven in de vorm van grafieken, werden geapproximeerd als polynomen,

$$k_1(x) = \sum_{k=0}^2 a_k x^k$$

$$k_2(F_a/F, x) = \sum_{k=0}^2 \sum_{l=0}^3 b_{kl} (F_a/F)^k x^l ,$$

$$k_3(F_a/F, \lambda_i) = \sum_{k=0}^2 \sum_{l=0}^2 c_{kl} (F_a/F)^k \lambda_i^l .$$

waarvan de coëfficienten in Tabel IV zijn aangegeven.

Tabel IV

k	0	1	2
a_k	+1.176	-1.702	+.857
$b_{k,0}$	+.70301	+1.12569	-.86178
$b_{k,1}$	+3.08984	-6.11588	+3.22811
$b_{k,2}$	-6.37586	+11.73895	-5.74011
$b_{k,3}$	+5.05019	-7.99867	+3.16132
$c_{k,0}$	+1.25693	-.02976	+.49222
$c_{k,1}$	-.78841	+.07630	-1.78974
$c_{k,2}$	+.37291	+.00211	+1.46345

d) Berekening R 572

(i)

Het uitgangspunt is de relatie

$$\frac{dc_L}{d\alpha} (\varphi + \alpha_0 - \beta_i) = c_L \quad (2.42)$$

waarin

$$\varphi = \arctan\left(\frac{1}{\pi x} \cdot \frac{H}{D}\right)$$

Het doel van de berekening is $\operatorname{tg}\beta_i(x)$ en $G(x)$ te vinden als gegeven zijn de profielgegevens $\frac{dc_L}{d\alpha}$ en α_0 , de bladcontour 1

en de radiale spoedverdeling $\frac{H}{D}$ als functies van x en de functie $\operatorname{tg}\beta$ volgens (2.5) bepaald is.

Uit (2.42) en (2.2) volgt ml.

$$2G \cos\beta_i = \frac{1}{\pi D} \cdot \frac{dc_L}{d\alpha} \cdot (\varphi + \alpha_0 - \beta_i) \cdot \left(\frac{1}{\operatorname{tg}\beta} - \frac{w^t}{v_e}\right), \quad (2.43)$$

hectegen tezamen met (2.4) een tweetal relaties leveren waaruit de beide onbekende functies opgelost kunnen worden.

(ii)

Een iteratieve methode om dit stelsel op te lossen - voorgesteld in rapport W.O. 47-52-6 - bestaat in toepassing van (2.10) en (2.12). Substitutie hiervan in (2.43) levert n.l. een lineair stelsel voor c_μ , waarvan de matrixcoëfficiënten berekend kunnen worden als een schatting voor $\operatorname{tg}\beta_i$ bekend is. Als eerste schatting kan gekozen worden $\operatorname{tg}\beta_i = \operatorname{tg}\varphi = \frac{1}{\pi x} \cdot \frac{H}{D}$. Uit de c_μ volgt met (2.12) w^a en w^t , waarna men een nieuwe schatting voor $\operatorname{tg}\beta_i$ kan berekenen volgens (2.4). Bij het doorrekenen van enkele test gevallen bleek dit proces niet stabiel te zijn. Wel bleek zulks het geval te zijn met de volgende methode, gesuggereerd door J.A. Zonneveld.

Uit een schatting voor $\operatorname{tg}\beta_i$ volgt de functie $G(x)$ zoals bij R476 beschreven. Met behulp van (2.43) wordt daarna een nieuw stel waarden van β_i bepaald.

Daartoe wordt deze vergelijking, gebruik makend van (2.4), geschreven in de gedaante

$$\beta_i = \varphi + \alpha_0 - \frac{2\pi D G \sin \beta_i}{\frac{dC_L}{d\alpha} l \left(1 + \frac{w^a}{v_e} \right)} \quad (2.44)$$

Voor elke waarde van x kan (2.44) met de methode der successieve substituties opgelost worden. Voor elke "grote" iteratiestap moeten dus 9 volledige "kleine" iteratieprocessen worden uitgevoerd.

(iii)

Uit de definitieve waarden van $\operatorname{tg} \beta_i$ en G worden tenslotte C_{T_i} en C_{P_i} berekend volgens (2.3) (zie sectie 2bii) en γ_{P_i} volgens

$$\gamma_{P_i} = \frac{C_{T_i}}{C_{P_i}} \cdot \frac{2}{1-x_n^2} \int_{x_n}^1 (1-w_x)x dx \quad (2.45)$$

waarbij de regel van Simpson voor de integratie wordt toegepast.

e) Berekening R 573

(i)

Hier is gegeven de waarde van C_{T_i} volgens (2.7a) en de relatie

$G(x) = kF(x)$, waarin $F(x)$ een voorgeschreven functie is en k een nog onbepaalde constante. Het doel is, de waarde van k en de functie $\operatorname{tg}\beta_i$ te bepalen, waarbij wordt uitgegaan van (2.3a) en (2.4).

Duidt men de geïnduceerde snelheden voor $G=F$, dus $k=1$, van met w^{a^*} en w^{t^*} dan volgt uit deze formules

$$\frac{C_{T_i}}{4z} = k \int_{x_n}^1 F(x)(1-w_x)^2 \frac{1}{\operatorname{tg}\beta} dx - k^2 \int_{x_n}^1 F(x)(1-w_x)^2 \frac{w^{t^*}}{v_e} dx \quad (2.46)$$

$$\operatorname{tg}\beta_i = \frac{1+k \frac{w^{a^*}}{v_e}}{\frac{1}{\operatorname{tg}\beta} - k \frac{w^{t^*}}{v_e}} \quad (2.47)$$

waarin $\operatorname{tg}\beta$ volgens (2.5) te berekenen is.

Is een schatting voor $\operatorname{tg}\beta_i$ bekend - de eerste keer kan $\operatorname{tg}\beta_i = \operatorname{tg}\beta$ gekozen worden - dan kan uit (2.46) k worden opgelost.

(De eerste integraal is niet van $\operatorname{tg}\beta_i$ afhankelijk en dus constant tijdens de iteraties)

Uit (2.47) volgt dan de volgende schatting voor $\operatorname{tg}\beta_i$.

Als k en $\operatorname{tg}\beta_i$ bepaald zijn wordt tenslotte $\frac{L}{D}$ berekend volgens (2.2).

(ii)

De functie $F(x)$ wordt gegeven in de vorm $\frac{F(x)}{\sin \varphi} = \frac{F(x)}{\frac{5}{2} \sqrt{(1-x)(x-0.2)}}$

om de integralen in (2.46) met formule (2.16) te kunnen berekenen.

Dit heeft bovendien het voordeel, dat hieruit 9 Fouriercoëfficiënten F_n , nodig in (2.12), kunnen worden afgeleid, terwijl $F(x)$ zelf er slechts 7 geeft daar $F(0.2) = F(1.0) = 0$ is.

In het geval dat $F(x)$ geen wortelsingulariteiten heeft is (2.16) niet van toepassing en kunnen de integralen gewoon volgens de regel van Simpson berekend worden door het tweede stel coëfficiënten van Tabel III te gebruiken.

Programma 476

typ kop 1e deel
 typ begin gegevens
 $\operatorname{tg}\beta$
 typ $1-w_x$; $\operatorname{tg}\beta$
 $\operatorname{tg}\beta_i/k$
 C_{Ti}^* of C_{Pi}^*
 3 $\Rightarrow n$

$k_n * \operatorname{tg}\beta_i/k \Rightarrow \operatorname{tg}\beta_i$
 $H/\mu \text{ at } \pi$
 Stelsel 476
 $\frac{w}{v}$
 $\frac{G}{\sin\varphi}; G$
 n = 0?

C_{Si}^* of C_{Pi}^*
 n-1 $\Rightarrow n \neq 0?$
 interpolatie k

24ES 0573

$C_{L.1/D}$
 C_{Si} N: * k
 C_{Pi} N: * k

[544] OEH0

16EH1 [544]
 typ $C_L.1/D; \sigma_x$; $\operatorname{tg}\beta$

[544] 17EH1

31EH8 [544]
 typ k_1, k_2, k_3 ; w_x ; Δx

[544] OEH9

9EH9 [544]

typ C_{Ti}^* ; k; C_{Si}^* ; C_{Pi}^*

typ kop 2e deel

typ begin gegevens

typ $(Hv/D)g$; F_a/F

typ l; s/l

typ $(f/l)\text{geom}$; H/D

stop

$$\operatorname{tg}\beta = \frac{V_s(1-w_x)}{\pi n D x} \quad x=.2(.1)1.0$$

$$\operatorname{tg}\beta_i/k = \frac{1}{\eta_{Pi}} \left(\frac{1-w}{1-w_x}\right)^{3/4} \operatorname{tg}\beta$$

$$C_{Ti}^* = \frac{8 \cdot Si}{\rho V_s^2 \pi D^2}$$

$$C_{Pi}^* = \frac{8 \cdot Pi}{\rho V_s^3 \pi D^2}$$

-16-

at

i_{kj}

\Downarrow
 $0 \Rightarrow j$
 $0 \Rightarrow m$

$$\begin{aligned} k &= 0(1)8 \\ j &= 0(1)8 \\ m &= 2(9*j+k) \\ x = x_k &= \frac{k+2}{10} \\ x_0 = x_j &= \frac{j+2}{10} \end{aligned}$$

$0 \Rightarrow k$

$k = j ?$

$$\sin^3 \beta_{ij} \left(2 + \frac{9}{\tan^2 \beta_{ij}} \right) + \frac{\frac{3x_k^2}{2x_j^2 \tan^2 \beta_{ij}} - 2}{\sqrt{1 + \frac{x_k^2}{x_j^2 \tan^2 \beta_{ij}}}} \Rightarrow G$$

$$\frac{1}{\sqrt{\sin \beta_{ij}} \sqrt{1 + \frac{x_k^2}{x_j^2 \tan^2 \beta_{ij}}}} \Rightarrow F$$

$$e^{z \left\{ \ln \left(\frac{\sqrt{1 + \frac{x_k^2}{x_j^2 \tan^2 \beta_{ij}}} - 1}{\frac{1}{\sin \beta_{ij}} - 1} * x_j/x_k \right) + \sqrt{1 + \frac{x_k^2}{x_j^2 \tan^2 \beta_{ij}}} - \frac{1}{\sin \beta_{ij}} \right\}} \Rightarrow u$$

$k > j ?$

$$F \left(\frac{u}{1-u} + \frac{1}{24z} G \ln \frac{1}{1-u} \right) \Rightarrow B^*$$

$$(1-x_k/x_j) \frac{z}{\tan \beta_{ij}} (1+B^*) \Rightarrow i_{kj}^a$$

$$(x_j/x_k - 1) z B^* \Rightarrow i_{kj}^t$$

$$F \left(\frac{1}{u-1} - \frac{1}{24z} G \ln \frac{u}{u-1} \right) \Rightarrow A^*$$

$$(x_k/x_j - 1) \frac{z}{\tan \beta_{ij}} A^* \Rightarrow i_{kj}^a$$

$$(1-x_j/x_k) z (1+A^*) \Rightarrow i_{kj}^t$$

$$\begin{aligned} \cos \beta_{ij} &\Rightarrow i_{kj}^a \\ \sin \beta_{ij} &\Rightarrow i_{kj}^t \end{aligned}$$

$$i_{kj}^a = (m \ ZS0)$$

$$i_{kj}^t = (m \ ZTO)$$

waarbij OZSO en
OZTO de begin
adressen zijn

van resp. (i_{kj}^a) en
 (i_{kj}^t) (16x12 t/m 17x17)
 $(18x17 t/m 19x22)$

$m + 2 \Rightarrow m$

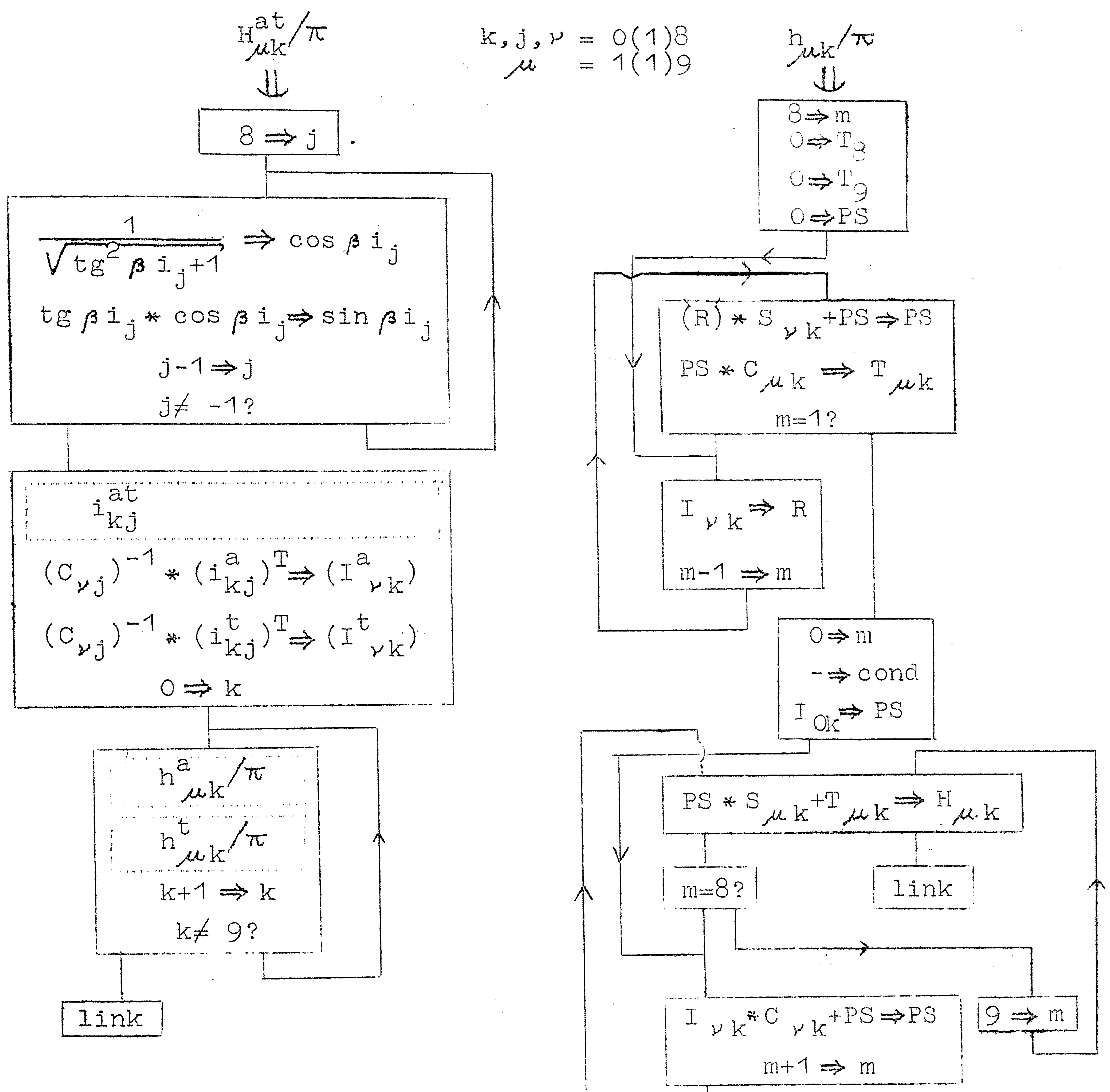
$k + 1 \Rightarrow k$

$k \neq 9 ?$

$j + 1 \Rightarrow j$

$j \neq 9 ?$

link



$$h_{\mu k}/\pi = S_{\mu k} \sum_{\nu=0}^{\mu} I_{\nu k} \cdot C_{\nu k} + C_{\mu k} \sum_{\nu=\mu+1}^8 I_{\nu k} S_{\nu k}$$

$$\begin{matrix} j \rightarrow \\ \downarrow \\ \cos \nu \varphi_j \\ \downarrow \\ k \rightarrow \end{matrix}$$

$$= (C_{\nu j})$$

$$\begin{matrix} k \rightarrow \\ \downarrow \\ I_{\nu k} \end{matrix}$$

$$\begin{matrix} j \rightarrow \\ \downarrow \\ k \rightarrow \\ i_{kj} \end{matrix}$$

$$\begin{matrix} \mu \downarrow \\ \begin{matrix} \sin \mu \varphi \\ \hline \sin \varphi \end{matrix} \end{matrix}$$

$$= (S_{\mu k})$$

$$\begin{matrix} \mu \downarrow \\ H_{\mu k} \end{matrix}$$

Stelsel 476

$$\sum_{\mu=1}^9 \frac{\pi}{1-x_n} \mu G_\mu [h_\mu^a/\pi + \tan \beta_i h_\mu^t/\pi] = \frac{\tan \beta_i}{\tan \beta} - 1$$

$$\left(\frac{h_k^a}{\pi} \right)^T \Rightarrow (A_{k,\mu})$$

(16x12 t/m 17x17) (20x22 t/m 21x27)

physisch transport waarbij de matrix getransponeerd wordt

$$(\tan \beta_i) * \left(\frac{h_k^t}{\pi} \right)^T + (A_{k,\mu}) \Rightarrow (A_{k,\mu})$$

(4x9 t/m 21x9) (18x17 t/m 19x22) (20x22 t/m 21x27)

$\tan \beta_i$ als diag. matr.

$$\text{rechterlid } \frac{\tan \beta_i}{\tan \beta_k} - 1 \quad \text{voor } k=0(1)8$$

(22x27 t/m 7x28)

Oplossen van het stelsel geeft $\frac{\pi}{1-x_n} \mu G_\mu$ (22x27 t/m 7x28)

$$\frac{w_{at}}{v_e}$$

$$\frac{w_{at}}{v_e} = \sum_{\mu=1}^9 \frac{\pi}{1-x_n} \mu G_\mu \frac{h_\mu^{at}}{\pi}$$

$$\left(\frac{h_k^a}{\pi} \right)^T * \left(\frac{\pi}{1-x_n} \mu G_\mu \right) \Rightarrow \left(\frac{w_a}{v_e} \right)$$

(16x12 t/m 17x17) (22x27 t/m 7x28) (12x11 t/m 29x11)

$$\left(\frac{h_k^t}{\pi} \right)^T * \left(\frac{\pi}{1-x_n} \mu G_\mu \right) \Rightarrow \left(\frac{w_t}{v_e} \right)$$

(18x17 t/m 19x22) (30x11 t/m 15x12)

$$\frac{G}{\sin \varphi} ; G$$

$$\frac{\pi}{1-x_n} \mu G \mu * \frac{1-x_n}{\pi} / \mu \Rightarrow G_\mu \quad \text{voor } \mu = 1(1)9$$

(18x6) (22x27 t/m 7x28)

$$\left(\frac{\sin \mu \varphi}{\sin \varphi} \right)^T * (G_\mu) \Rightarrow \left(\frac{G}{\sin \varphi} \right)$$

(28x42 t/m 29x47) (26x10 t/m 11x11)

$$\frac{G}{\sin \varphi} * \sin \varphi \Rightarrow G \quad x=f(\varphi) = .2(.1)1.0$$

(30x47 t/m 15x48)(22x27 t/m 7x28)

$$C_{Si} = 4 z \int_{x_n}^1 G (1-w_x)^2 \left(\frac{1}{\tan \beta} - \frac{w^t}{ve} \right) dx = \sum_{2}^{10} \frac{G}{\sin \varphi} (1-w_x)^2 \left(\frac{1}{\tan \beta} - \frac{w^t}{ve} \right) * g_x$$

$$\text{of } C_{Pi} = 4 z \int_{x_n}^1 G \frac{(1-w_x)^3}{\tan \beta} (1 + \frac{w^a}{ve}) dx = \sum_{2}^{10} \frac{G}{\sin \varphi} \frac{(1-w_x)^3}{\tan \beta} (1 + \frac{w^a}{ve}) * g_x$$

$$\frac{G}{\sin \varphi} = (26x10 t/m 11x11) ; (1-w_x) = (24x5 t/m 9x6) ;$$

$$\tan \beta = (0x8 t/m 17x8) ; \frac{w^a}{ve} = (12x11 t/m 29x11) ; \frac{w^t}{ve} = (30x11 t/m 15x12)$$

$$g_x = (14x7 t/m 31x7)$$

Interpolatie

$$(22x6) k_{-1} = 0.95 \quad C_{Si}/C_{Pi}(0.95) \quad f_{-1} (2x51)$$

$$(24x6) k_0 = 1.00 \quad C_{Si}/C_{Pi}(1.00) \quad f_0 (4x51) \quad C_{Si}^*/C_{Pi}^* = f^* (0x51)$$

$$(26x6) k_1 = 1.05 \quad C_{Si}/C_{Pi}(1.05) \quad f_1 (6x51)$$

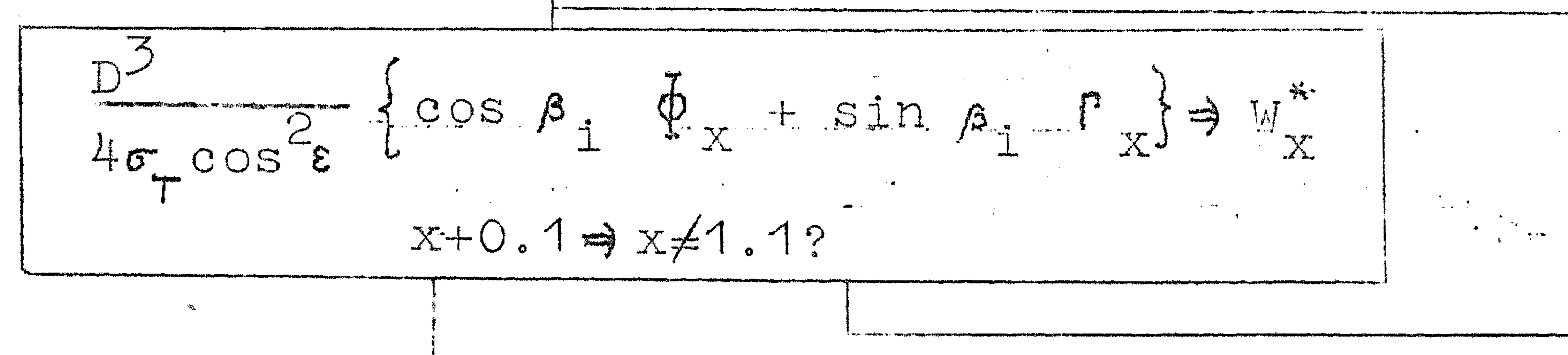
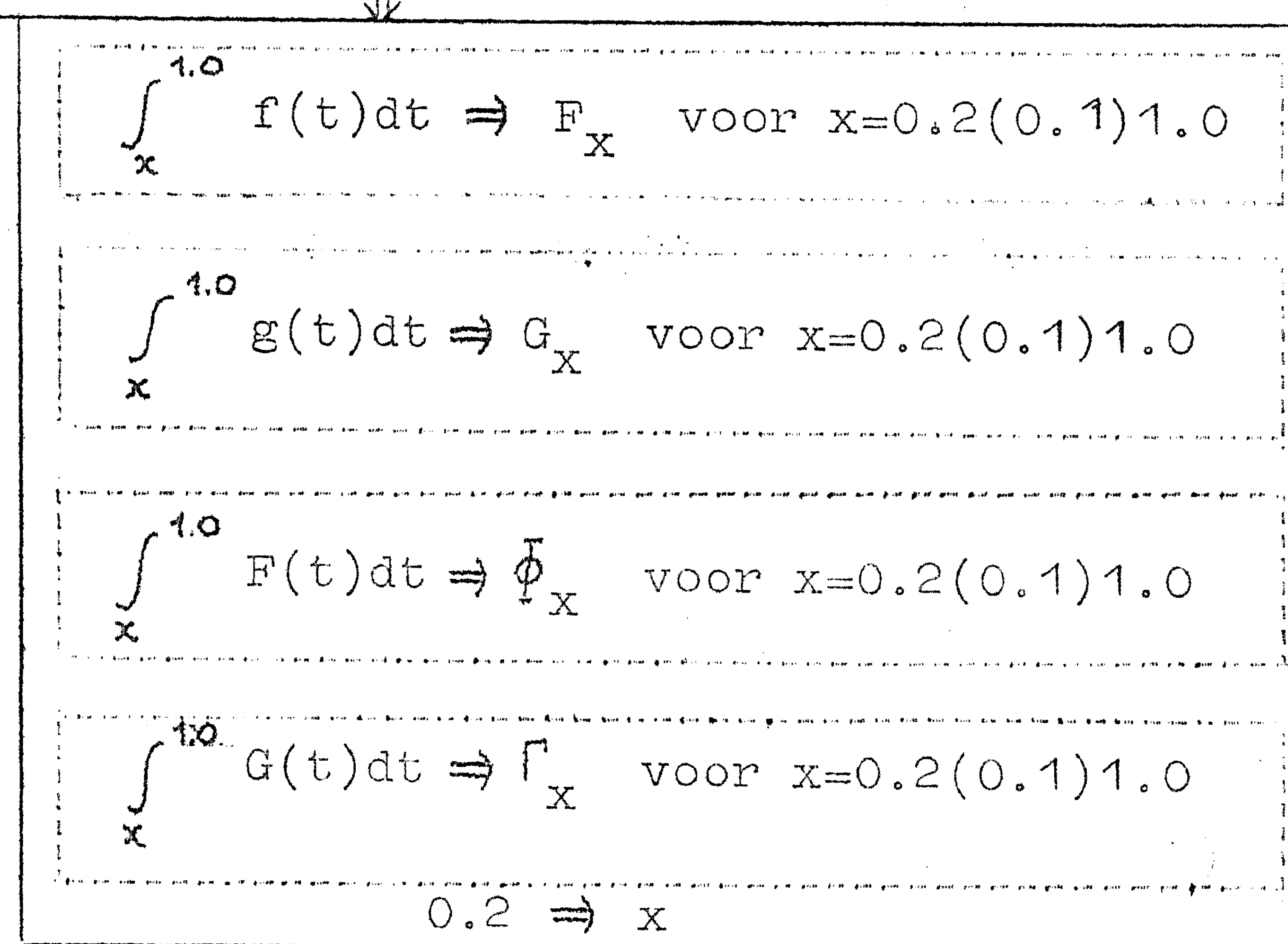
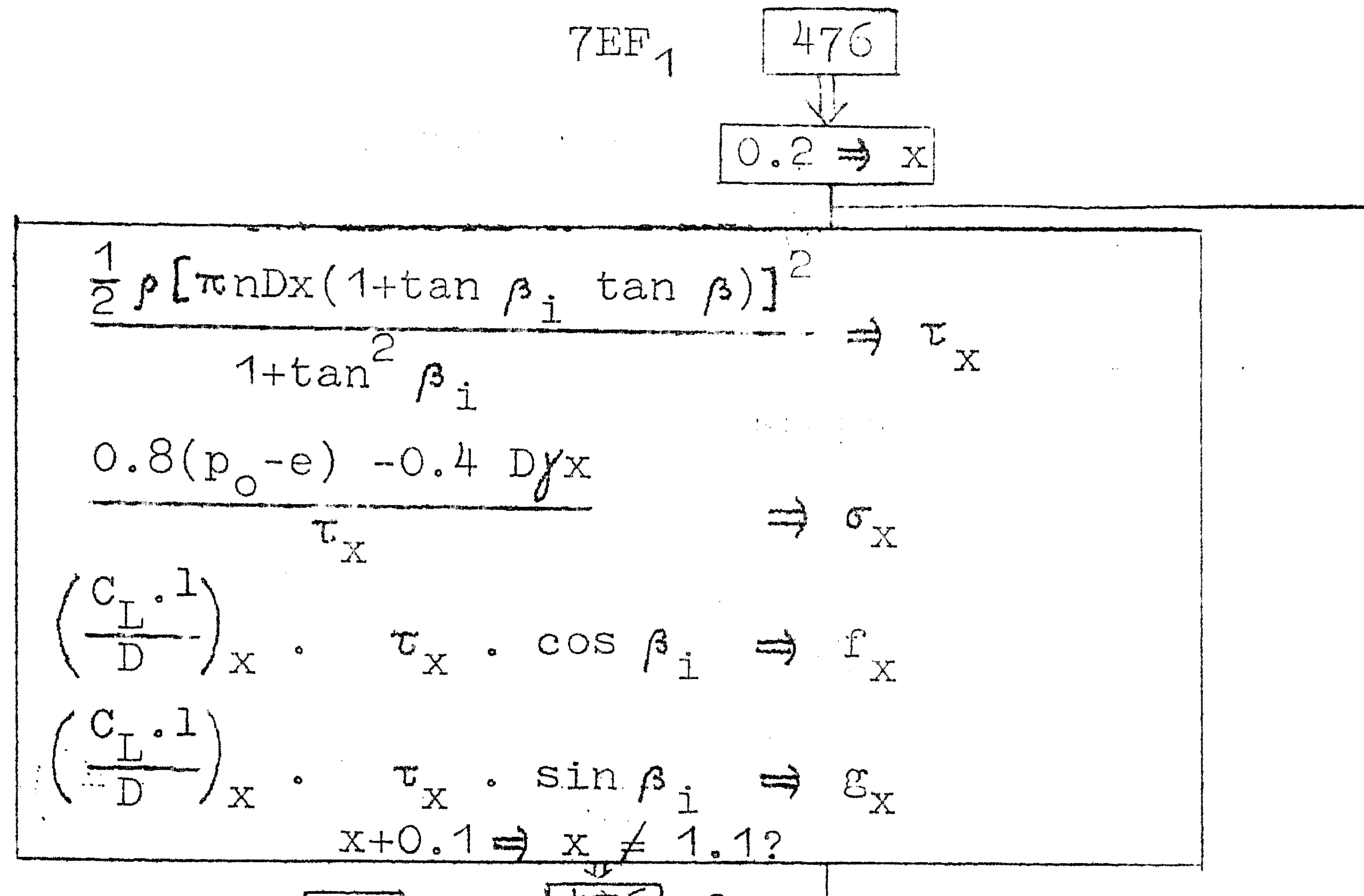
$$(8x51) k = k_0 + \frac{0.2(f^* - f_0)}{(f_1 - f_{-1}) + \sqrt{(f_1 - f_{-1})^2 + 8(f^* - f_0)(f_1 - 2f_0 + f_{-1})}}$$

$$\frac{C_L * 1/D}{}$$

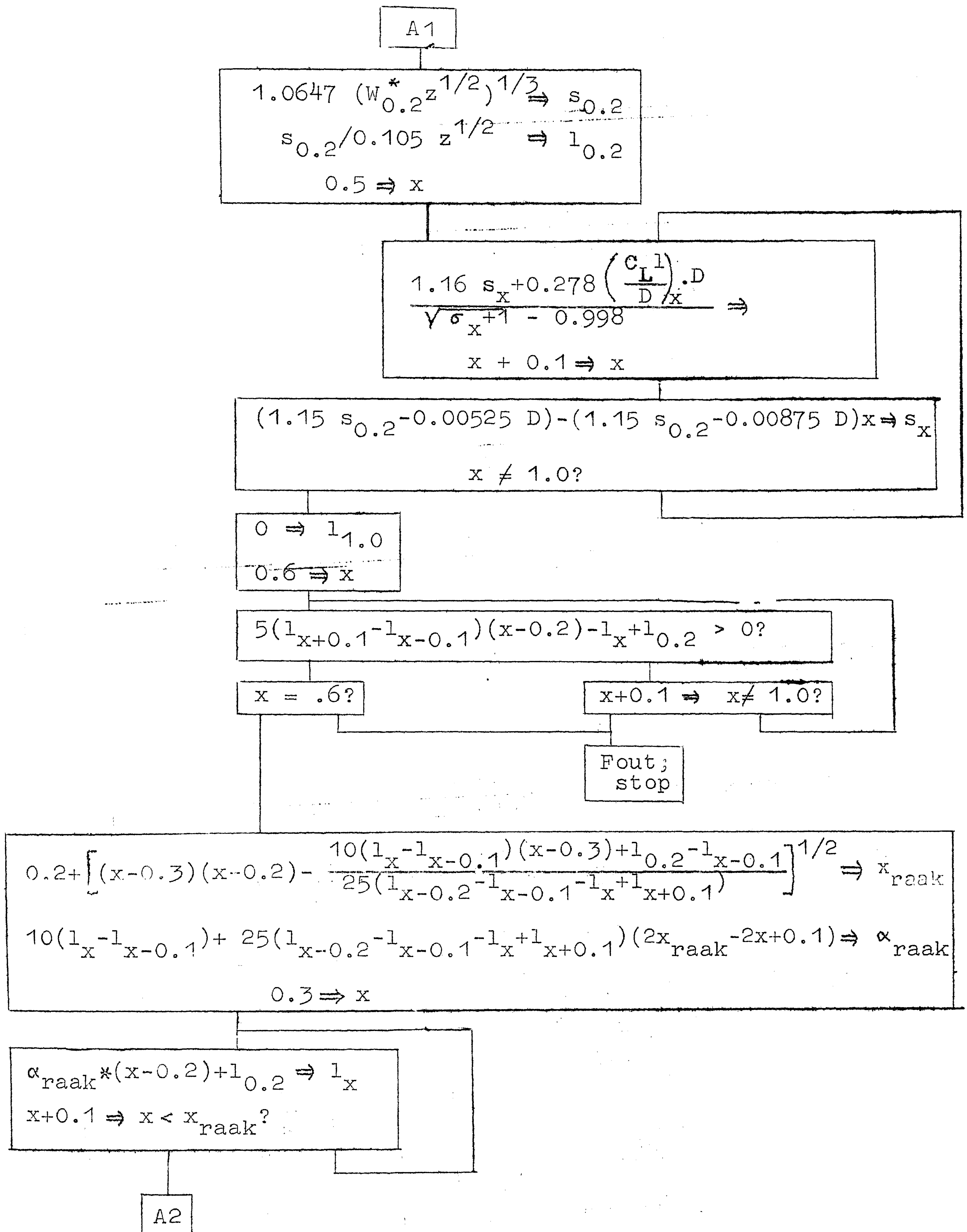
$$C_L * 1/D = 2 \pi G \quad \frac{\cos \beta_i}{\tan \beta} - \frac{w^t}{ve}$$

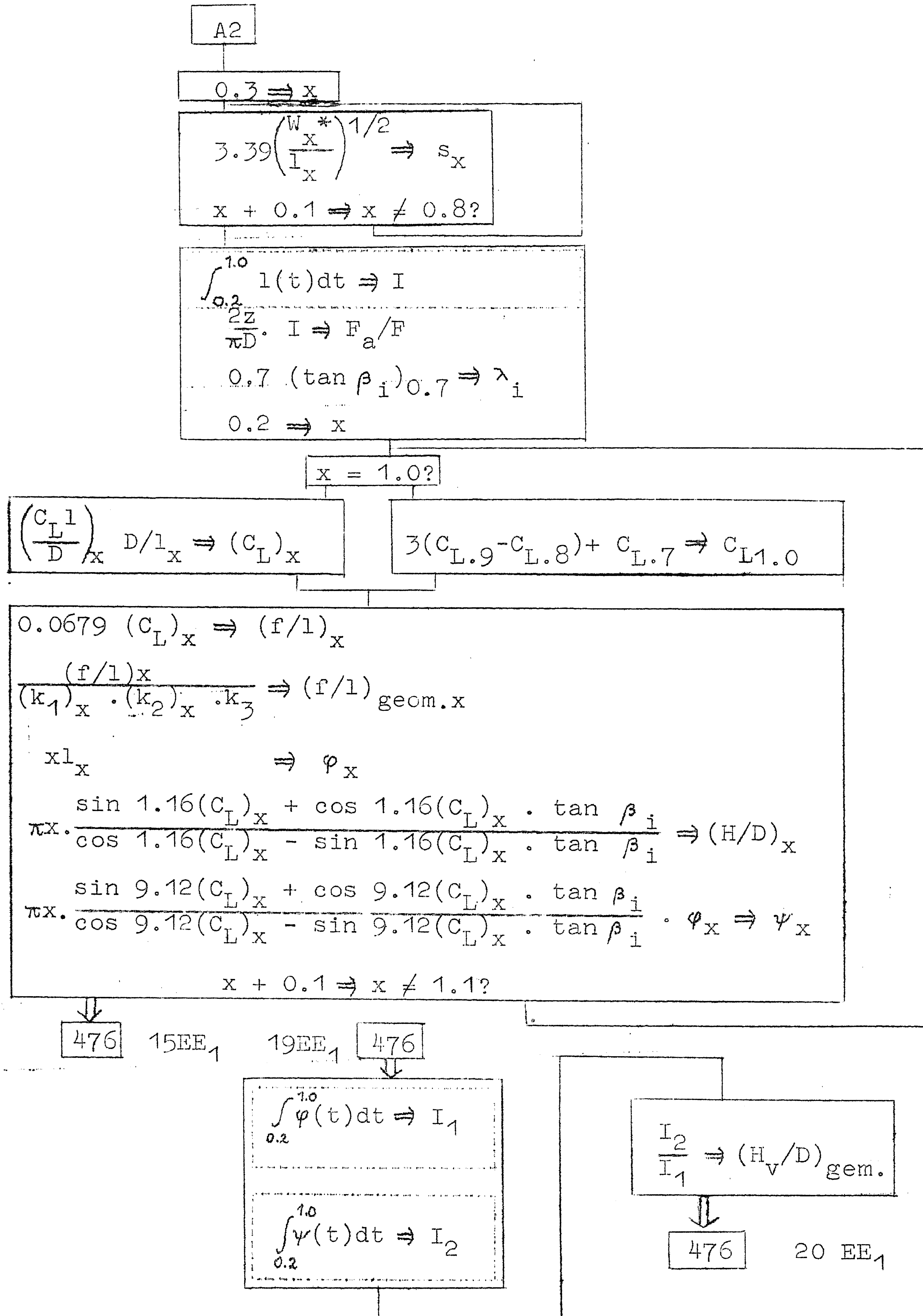
(8x28 t/m 25x28)

Programma 544



A1





Subroutine $F(x) = \int_x^{1.0} f(t)dt ; x = 0.2(0.1)1.0$



$$0 \Rightarrow F_{1.0}$$

$$\frac{1}{240} (f_{0.7} - 5f_{0.8} + 19f_{0.9} + 9f_{1.0}) \Rightarrow F_{0.9}$$

$$0.8 \Rightarrow x$$



$$F_{x+0.2} + \frac{1}{30} (f_x + 4f_{x+0.1} + f_{x+0.2}) \Rightarrow F_x$$

$$x-0.1 \Rightarrow x \neq 0.1?$$



Subroutine $I = \int_{0.2}^{1.0} f(t)dt$



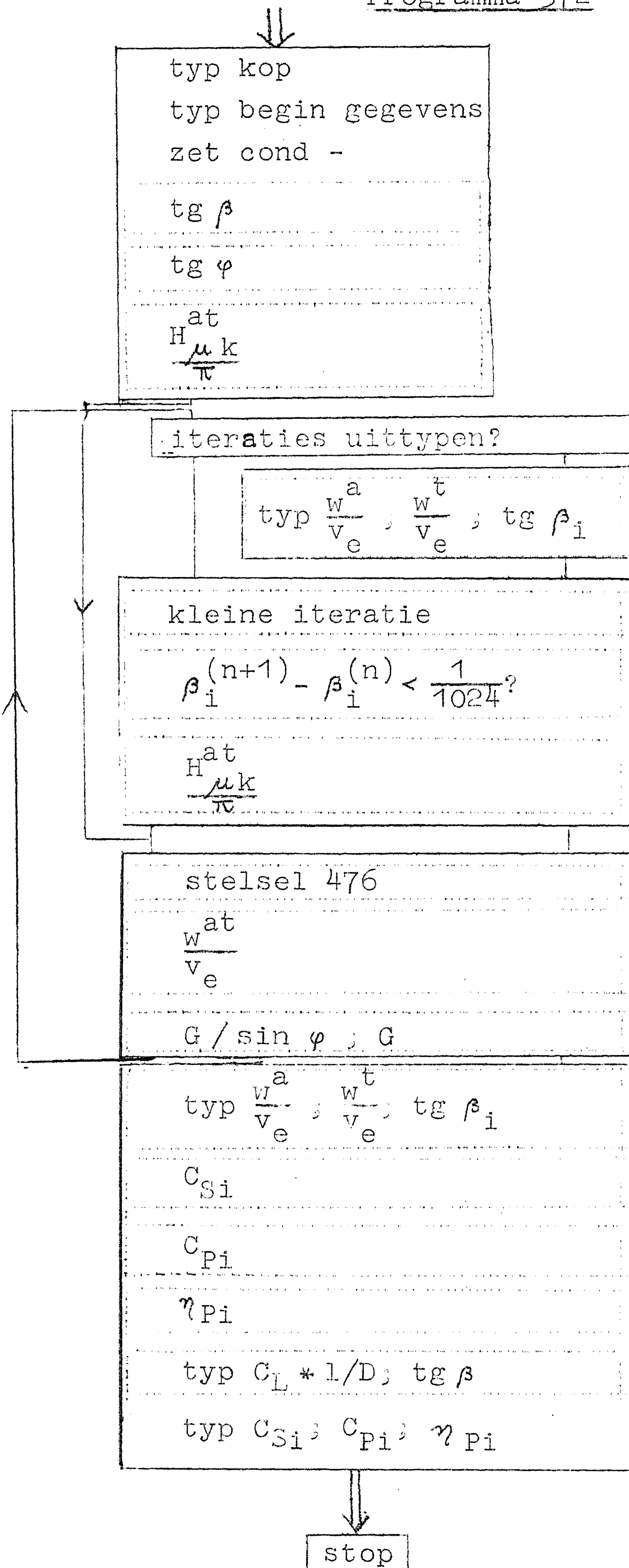
$$f_{0.3} + f_{0.5} + f_{0.7} + f_{0.9} \Rightarrow \eta$$

$$2\eta + f_{0.4} + f_{0.6} + f_{0.8} \Rightarrow \eta$$

$$\frac{1}{30} (2\eta + f_{0.2} + f_{1.0}) \Rightarrow I$$



Programma 572



$\operatorname{tg} \varphi$

$$\operatorname{tg} \varphi(x) = \frac{H/D}{\pi x} \Rightarrow 1^e \operatorname{tg} \beta_i \quad x = .2(.1)1.0$$

$$\varphi(x) = \arctg (\operatorname{tg} \varphi) \Rightarrow 1^e \beta_i \quad x = .2(.1)1.0$$

$$\varphi(x) + \alpha_o(x) \Rightarrow \psi(x) \quad x = .2(.1)1.0$$

$$\frac{\frac{2\pi D}{dC_1}}{\frac{d\alpha}{d\alpha}} l(x) \quad x = .2(.1).9$$

$$0 \Rightarrow \frac{\frac{2\pi D}{dC_1}}{\frac{d\alpha}{d\alpha}} l(1.0)$$

kleine iteratie

$$\beta_i^{(p+1)} = \underbrace{\varphi + \alpha}_\psi - \frac{\frac{2\pi D}{dC_L} \frac{G}{a}}{\frac{d\alpha}{d\alpha} l(1+\frac{w}{v_e})} \sin \beta_i^{(p)}$$

8 \Rightarrow k

$$x = f(k) = .2(.1)1.0$$

$$\left\{ \frac{\frac{2\pi D}{dC_1} \frac{G}{a}}{\frac{d\alpha}{d\alpha} l(1+\frac{w}{v_e})} \right\}_k \Rightarrow b_k$$

$$\beta_{i_k}^{(p+1)} = \psi_k - b_k \sin \beta_{i_k}^{(p)}$$

$$\beta_{i_k}^{(p+1)} - \beta_{i_k}^{(p)} < \frac{1}{1024}?$$

$$\beta_{i_k}^{(p+1)} \Rightarrow \beta_{i_k}^{(p)}$$

$$\beta_{i_k}^{(p)} = \beta_{i_k}^{(n+1)}$$

$$\cos \beta_{i_k}^{(n+1)}$$

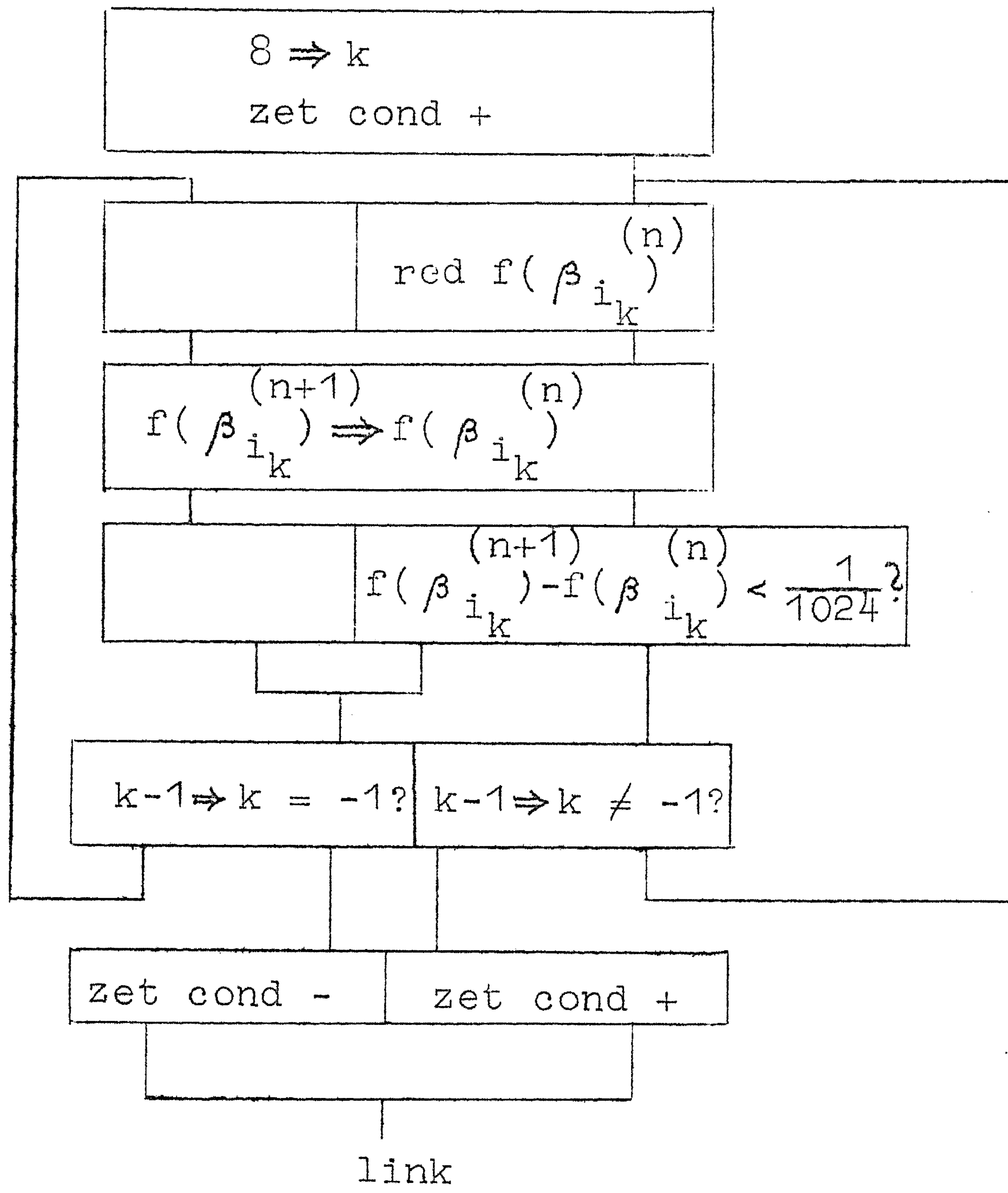
$$\sin \beta_{i_k}^{(n+1)}$$

$$\operatorname{tg} \beta_{i_k}^{(n+1)}$$

$$k-1 \Rightarrow k \neq -1?$$

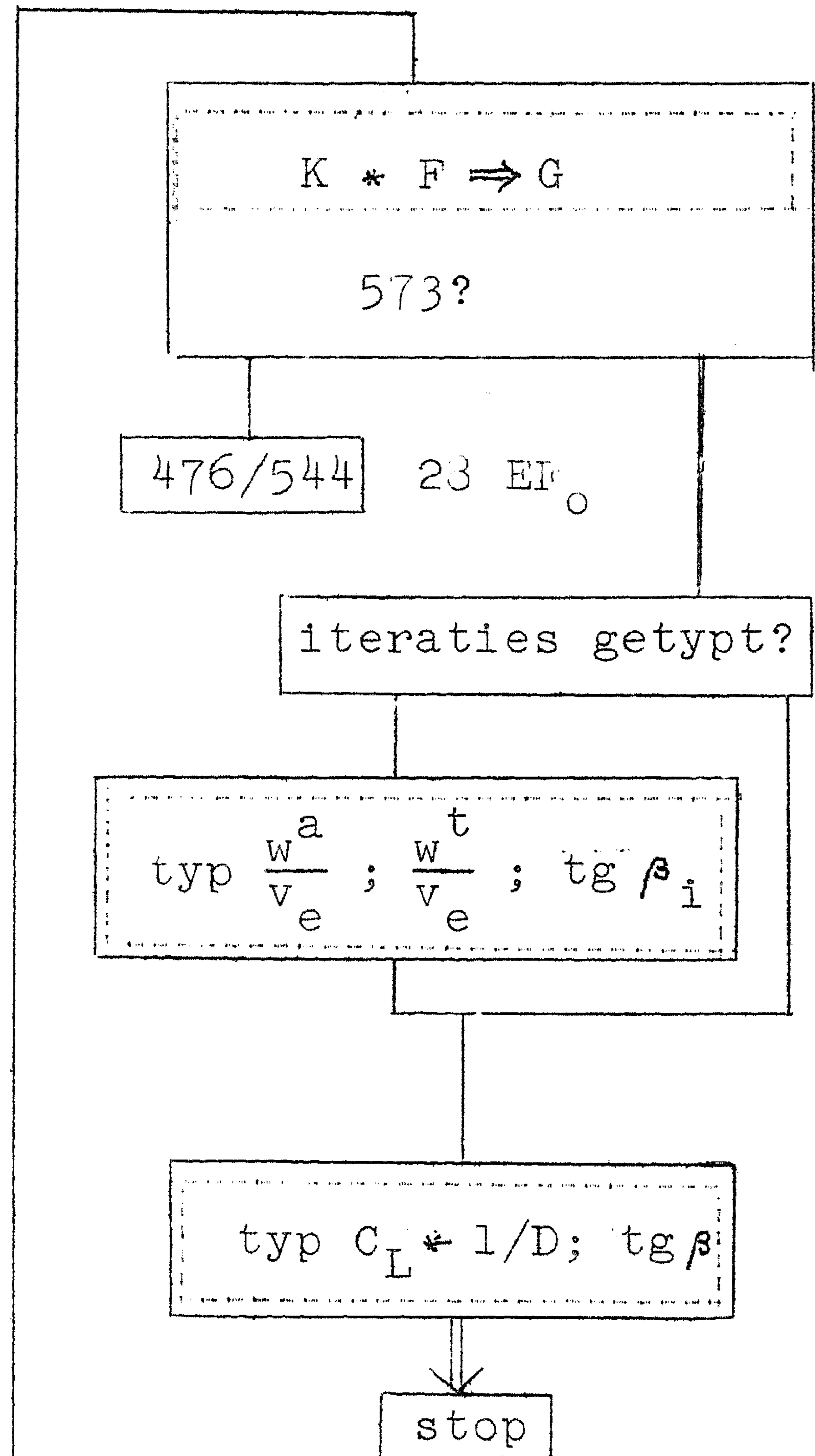
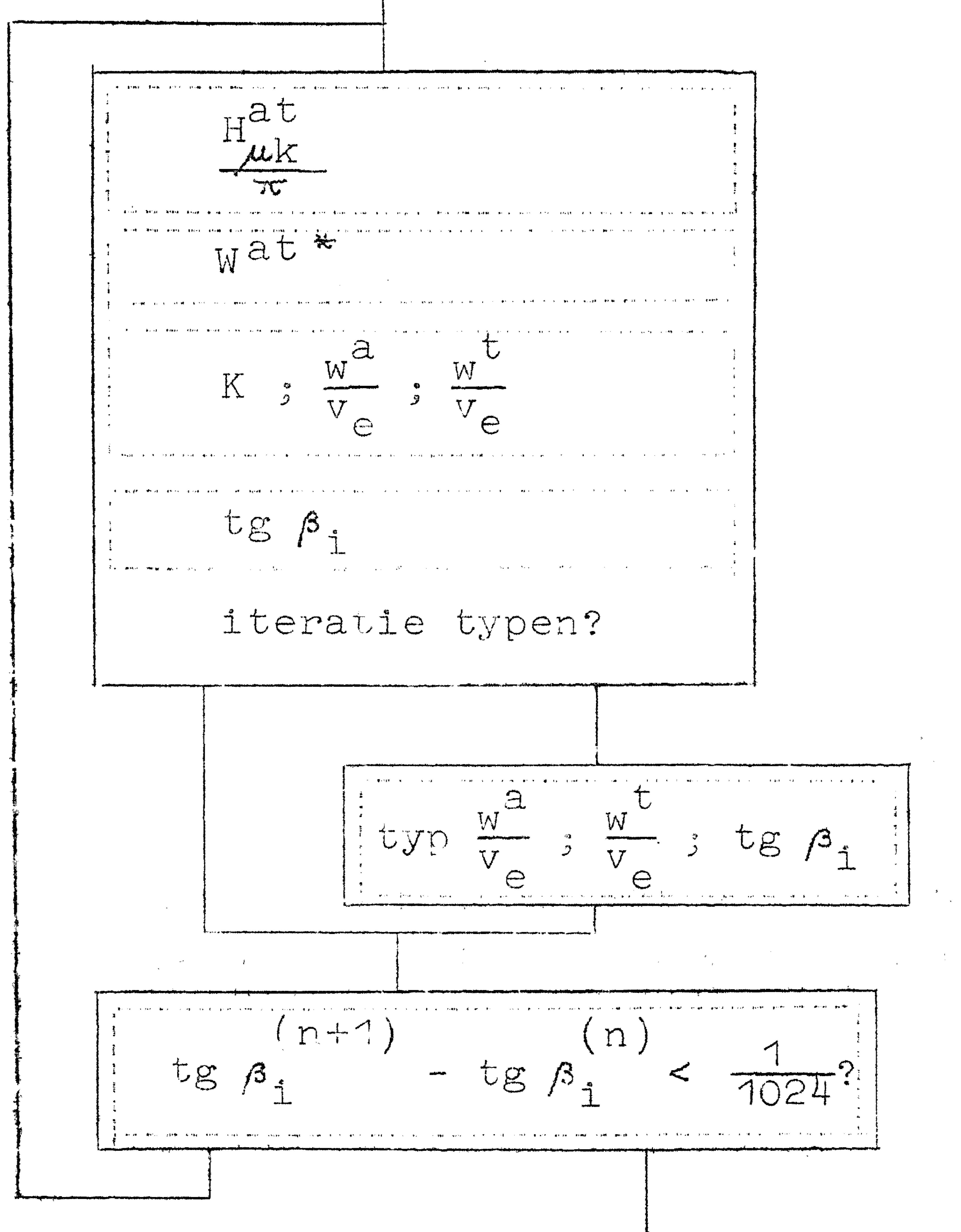
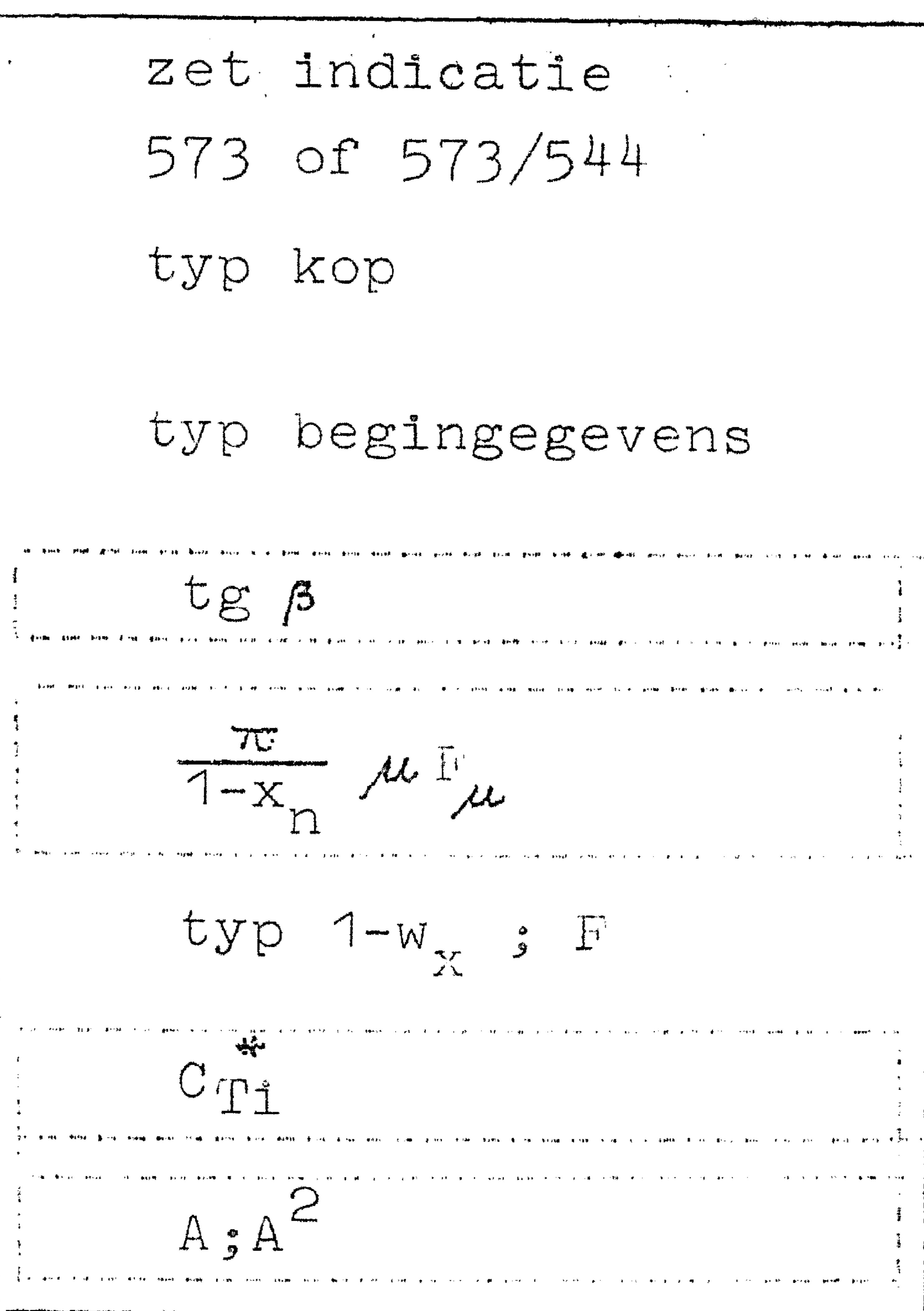
link

$$f(\beta_i)^{(n+1)} - f(\beta_i)^{(n)} < \frac{1}{1024} ?$$



$$\gamma_{Pi} = \frac{C_{Si}}{C_{Pi}} * \frac{1}{\frac{1}{2}(1-x_n)^2} * \int_{x_n}^1 (1-w_x)x \, dx = \frac{C_{Si}}{C_{Pi}} * \frac{25}{12} * \int_{-2}^{1.0} (1-w_x)x \, dx$$

pr.573 pr.573/544



$$C_{Ti}^* = 4 z K \int_{x_n}^1 \frac{F}{\sin \varphi} (1-w_x)^2 \frac{\sin \varphi}{\operatorname{tg} \beta} dx - 4 z K^2 \int_{x_n}^1 \frac{F}{\sin \varphi} (1-w_x)^2 w_t^* \sin \varphi dx$$

$$w^{at*} = \frac{\pi}{1-x_n} \sum_{\mu=1}^9 \mu F_\mu \frac{h_\mu^{at}}{\pi}$$

$$\operatorname{tg} \beta_i = \frac{1 + \frac{wa}{ve}}{\cot \beta - \frac{wt}{ve}}$$

$$\frac{\pi}{1-x_n} \mu F_\mu$$

$$\left(\frac{\sin \mu \varphi}{\sin \varphi} \right)^{-1} * \left(\frac{F}{\sin \varphi} \right) \Rightarrow \left(F_\mu \right)$$

$$\frac{\pi}{1-x_n} * \mu * F_\mu \Rightarrow \frac{\pi}{1-x_n} \mu F_\mu \quad \mu = 1(1)9$$

$$1/\operatorname{tg} \beta \Rightarrow \cot \beta$$

$$\operatorname{tg} \beta \Rightarrow \operatorname{tg} \beta_i \quad 1^e \text{ schatting}$$

$$\frac{F(x)}{\sin \varphi} * \sin \varphi \Rightarrow F(x)$$

$$\left. \begin{array}{l} \\ \\ \end{array} \right\} x = .2(.1)1.0$$

$$A ; A^2$$

$$A = 4 z \int_{.2}^{1.0} \frac{F}{\sin \varphi} (1-w_x)^2 \frac{\sin \varphi}{\operatorname{tg} \beta} dx$$

afhankelijk van schakelaar do wordt deze integraal uitgerekend met gewichten die wortel singulariteit opvangen of met Simpson

$$w^{at*} = \frac{\pi}{1-x_n} \sum_{\mu=1}^9 \mu^F \mu \frac{h^{\mu at}}{\pi}$$

$$K ; \frac{w^a}{ve} \quad \frac{w^t}{ve}$$

$$4 z \int_{x_n}^{1.0} \frac{F}{\sin \varphi} (1-w_x)^2 w_t^* \sin \varphi dx \Rightarrow B \quad (\text{zie opmerking wortelgewichten})$$

$$K = \frac{1}{2} \frac{A - \sqrt{A^2 - 4B C_{Ti}^*}}{B}$$

$$\left. \begin{array}{l} \frac{w^a}{ve} = K * w_a^* \\ \frac{w^t}{ve} = K * w_t^* \end{array} \right\} \quad x = .2(.1)1.0$$

$\operatorname{tg} \beta_i$

$$\operatorname{tg} \beta_i = \frac{1 + \frac{w^a}{ve}}{\cot \beta - \frac{w^t}{ve}}$$

$$\operatorname{tg} \beta_i^{(n+1)} - \operatorname{tg} \beta_i^{(n)} < \frac{1}{1024} ? \quad \text{zie 572}$$

Invoer 476 / 544.

	DN	
	DA 0 x 5	
0 x 5	+ 0 of + 1	indicatie: (2 x 5) = Si resp. Pi
1 x 5	-	codewoord schroef (zie opmerking)
2 x 5	DF	Si of Pi (kg)
4 x 5	D	(m)
6 x 5	z	
8 x 5	n	(r.p.s.) Start F 1
10 x 5	✓s	(m/sec)
12 x 5	cos ε	
14 x 5	γ	(kg/m ³)
16 x 5	p _o -e	(kg/m ²)
18 x 5	ρ	(kg.sec ² /m ⁴)
20 x 5	σ _T	(kg/m ²)
22 x 5	1-w	
24 x 5	1-w.2	
26 x 5	1-w.3	
28 x 5	1-w.4	
30 x 5	1-w.5	
0 x 6	1-w.6	
2 x 6	1-w.7	
4 x 6	1-w.8	
6 x 6	1-w.9	
8 x 6	1-w.1.0	
10 x 6	? Pi	

Opmerking I

Met behulp van dit codewoord typt de subroutine typ tekst (P54) het nummer van de schroef aan de kop van het programma. Het nummer mag maximaal uit 4 symbolen bestaan. Het code woord is altijd negatief.

Screw nr. 2595 codewoord = - 02050905

Screw nr. A5 codewoord = - 18211905

Geheugenindeling getallen materiaal R 476

0x8	t/m	$17x8$:	$\operatorname{tg} \beta$	zie ook
18x8	"	$3x9$:	$\operatorname{tg} \beta_i/k$	0x5 t/m $31x7$ (pag. 30, 37)
4x9	"	$21x9$:	$\operatorname{tg} \beta_i$	en
22x9	"	$7x10$:	$\cos \beta_i$	werkruimte 544 (pag. 32)
8x10	"	$25x10$:	$\sin \beta_i$	
26x10	"	$11x11$:	$G/\sin \varphi$	
12x11	"	$29x11$:	w^a/v_e	
30x11	"	$15x12$:	w^t/v_e	
16x12	"	$17x17$:	$i_{kj}^a ; h_{\mu k}^a/\pi$	
18x17	"	$19x22$:	$i_{kj}^t ; h_{\mu k}^t/\pi$	
20x22	"	$21x27$:	$I_{\nu k}^a ; A_{k\mu}$	20x22 t/m $5x23$: $q_{1.4} = w.r.$ P101.
22x27	"	$23x32$:	$I_{\nu k}^t$	22x27 " $7x28$: $\operatorname{tg} \beta_i/\operatorname{tg} \beta - 1$;
					$\frac{\pi}{1-x_n} \mu G \mu, G \mu; G.$
				8x28 "	$25x28$: $C_L \cdot 1/D.$
				26x28 "	$5x29$: $q_{1.2} = w.r.$ P101.
24x32	"	$25x37$:	$\cos^{-1} \nu \varphi$	
26x37	"	$27x42$:	$\cos \nu \varphi$	
28x42	"	$29x47$:	$\frac{\sin \mu \varphi}{\sin \varphi}$	
30x47	"	$15x48$:	$\sin \varphi$	
0x51	:	C_{Ti}^*		10x51 "	$1x52$: w.r. P 104;
2x51	:	$C_{Si} (.95)$; C_{Si}		"	$q_{1.3}$ (P101);
4x51	:	$C_{Si} (1.0)$; C_{Pi}		"	i at
6x51	:	$C_{Si} (1.05)$		"	h_{μ}^a at
8x51	:	k		"	C_{Si}/C_{Pi} .

Geheugenindeling getallen materiaal R 544

0x8 t/m 17x8 : $\operatorname{tg} \beta$

4x9 " 21x9 : $\operatorname{tg} \beta_i$

22x9 " 7x10 : $\cos \beta_i$

8x10 " 25x10 : $\sin \beta_i$

16x12 " 1x13 : $\sigma(x)$

2x13 " 19x13 : $f(x); \dot{\phi}(x); s(x)$

20x13 " 5x14 : $\varepsilon(x); \dot{\epsilon}(x); l(x)$

6x14 " 23x14 : $F(x); W^*(x)$

24x14 " 9x15 : $G(x); C_L(x)$

10x15 " 27x15 : $(f/l)_x$

28x15 " 13x16 : $(f/l)_{\text{geom. } x}$

14x16 " 31x16 : $\varphi(x)$

0x17 " 17x17 : $(H/D)_x$

8x28 t/m 25x28 : $C_L \cdot l/D$

18x17 " 3x18 : $\psi(x)$

10x51 " 21x51 : werkruimte

4x18 " 21x18 : Δ_α

22x18 " 7x19 : s/l zie verder

8x19 " 25x19 : $k_1 \cdot k_2 \cdot k_3$ 0x4 t/m 23x4 (pag. 37)

0x5 " 31x7 (pag. 30, 37)

26x19 : F_a/F

28x19 : $(H_v/D)_{\text{gem.}}$

Invoer 572

DNDA 1x5

1x5 - codewoord Schroef (zie opmerking I)

DF

DX 2

4x5 D

6x5 z

8x5 n

10x5 Vs

12x5 dCL/d α

Start F2

DF

DA 24x5

24x5 : 1-w_x x = .2(.1)1.0
t/m :
9x6 :
.

DF

DA 1570x0

2x49 :
t/m : α_o(x) x = .2(.1)1.0
19x49 : in radialen
.

DF

DA 1588x0

20x49 : 1(x) x = .2(.1)1.0
t/m :
5x50 :
.

DF

DA 1606x0

6x50 : H/D(x) x = .2(.1)1.0
t/m :
23x50 :
.

Opmerking II

Het al dan niet uittypen van opeenvolgende iteratie stappen wordt beïnvloed door de stand van schakelaar d₁ van het console woord (2^e van rechts)

d₁ = 1 ↑ niet uittypen opeenvolgende iteratie stappen
0 ↓ wel

Geheugenindeling getallen materiaal 572

0x8	t/m 17x8	: tg β	zie ook
18x8	" 3x9	: $\beta_i^{(n)}$	0x5 t/m 31x7
4x9	" 21x9	: tg $\beta_i^{(n)}$	(pag. 33, 37)
22x9	" 7x10	: cos $\beta_i^{(n)}$	
8x10	" 25x10	: sin $\beta_i^{(n)}$	
26x10	" 11x11	: G/sin φ	
12x11	" 29x11	: w^a/ve	
30x11	" 15x12	: w^t/ve	
16x12	" 17x17	: $i_{kj}^a ; h_{\mu k}^a/\pi$	
18x17	" 19x22	: $i_{kj}^t ; h_{\mu k}^t/\pi$	
20x22	" 21x27	: $I_{\gamma k}^a ; A_{k\mu}$	20x22 t/m 5x23 : wr P101 q _{1.4}
22x27	" 23x32	: $I_{\gamma k}^t ;$	27x27 " 7x28 : tg $\beta_i^{(n+1)} ;$
24x32	" 25x37	: $\cos^{-1} \varphi$	$\frac{\pi}{1-x} \mu G \mu ; G \mu ; G.$
26x37	" 27x42	: $\cos \varphi$	8x28 " 25x28 : $\beta_i^{(p+1)} = \beta_i^{(n+1)} ;$
28x42	" 29x47	: sin $\mu \varphi / \sin \varphi$	$C_L \cdot 1/D$
30x47	" 15x48	: sin φ	26x23 " 11x29 : $2\pi D G / \frac{dC}{d\alpha} \cdot 1 (1 + w^a/ve)$
16x48	" 1x49	: $2\pi D / \frac{dC}{d\alpha} \cdot 1$	wr P101 q _{1.2}
2x49	" 19x49	: α_0	12x29 " 29x29 : $\beta_i^{(p)} ; x(1 - w_x).$
20x49	" 5x50	: 1	26x23 : C_{Si}
6x50	" 23x50	: H/D	28x28 : C_{Pi}
24x50	" 9x51	: ψ	30x28 : η_{Pi}
10x51	" 1x52	: werkruimte: P 104 ; q 1.3 (P101); $i^{at} ; h_{\mu}^{at} ;$	
			C_{Si}/C_{Pi}

Invoer voor Scheepsschroeven met voorgeschreven circulatieverdeling (geg. met *) Start F3 573

evt. gevolgd door "2^e deel schroefontwerp m.b.v. inductie factoren" Start F4 573/544

DN

DA 0x5

0x5 + 0 of + 1 * indicatie S_i of P_i

1x5 - * codewoord schroef (zie opm.I)

DF

2x5 * S_i of P_i

4x5 * D

6x5 * z

8x5 * n

10x5 * Vs

12x5 cos ε

14x5 γ

16x5 $p_o - e$

18x5 * ρ

20x5 σ_T

DF

DA 24x5

24x5 * $1-w_x$

t/m

9x6

DF

DA 26x10

26x10

t/m

11x11

* $\frac{F(x)}{\sin \varphi}$

Opmerking III

$$\frac{F(x)}{\sin \varphi} = \frac{F(x)}{2 \frac{1}{2} \sqrt{(1-x)(x-2)}} \cdot \text{zie}$$

pag. 14 (ii). Deze F(x) is de voorgeschreven circulatieverdeling. Van het quotient worden de numerieke waarden berekend voor x = .2(.1)1.0 (tabel I) Aan de top en deas (x=1.0 resp. 2) e.v.t. door een limiet overgang.

Opmerking IV

Ook hier kunnen tussen-resultaten uitgetypt worden (opm.II)

Opmerking V

Om een eventuele wortel singulariteit in F(x) op te vangen zet men d0 van het console woord op 0.

Staat d0 op 1 dan wordt met Simpson geïntegreerd.

Geheugenindeling getallen materiaal 573, 573/544

0x8	t/m	17x8	: tg β					
18x3	"	3x9	: cot β					
4x9	"	21x9	: tg $\beta_i^{(n)}$					
22x9	"	7x10	: cos $\beta_i^{(n)}$					
3x10	"	25x10	: sin $\beta_i^{(n)}$					
26x10	"	11x11	: F/sin φ					
12x11	"	29x11	: w_a^* ; w^a/v_e					
30x11	"	15x12	: W_t^* ; w^t/v_e					
16x12	"	17x17	: i_{kj}^a ; $h_{\mu k}^a/\pi$					
18x17	"	19x22	: i_{kj}^t ; $h_{\mu k}^t/\pi$					
20x22	"	21x27	: $I_{\nu k}^a$; $\left(\frac{\sin \mu \varphi}{\sin \varphi}\right)^T$	20x22 t/m	5x23: wr.P104	$q_{1.4}$		
22x27	"	23x32	: $I_{\nu k}^t$	{ 22x27 "	7x28: F/sin φ ; F μ			
24x32	"	25x37	: $\cos^{-1} \nu \varphi$	8x23 "	25x28: tg $\beta_i^{(n+1)}$; C _L .1/D			
26x37	"	27x42	: $\cos \nu \varphi$	26x28 "	5x29: wr.P101	$q_{1.2}$		
28x42	"	29x47	: $\sin \mu \varphi / \sin \varphi$	0x51 : C _{Ti} *				
30x47	"	15x48	: sin φ	2x51 : A ; C _{Si}				
16x48	"	1x49	: F(x)	4x51 : A ² ; C _{Pi}				
2x49	"	19x48	: $\frac{zF(x)}{\sin \varphi} (1-w_x)^2$	6x51 : B				
20x48	"	5x50	: $\frac{\pi}{1-x_n} \mu F \mu$	8x51 : K				
10x51	"	1x52	: werkruimte: P 104; $q_{1.3}$ (P 101); i ^{at} ; h _{μ} ^{at} ;					
				C _{Si} /C _{Pi}				

Geheugen indeling 0x4 t/m 31x7

0x4 + 1.0647	18x6 + .254647908	$\frac{1-x_n}{\pi}$
2 + 1.05	20 + 3.14159265	π
4 + 1.16	22 + .95	k_{-1}
6 + .278	24 + 1.0	k_0
8 + .998	26 + 1.05	k_1
10 + 1.15	28 + .2	
12 + .00525	30 + .3	
14 + .00875	0x7 + .4	
16 + 3.39	2 + .5	
18 + .0679	4 + .6	x-waarden
20 + .159174	6 + .7	
22 + .020246	8 + .8	
24x4 t/m 31x4 paragraaf letters	10 + .9	
0x5 t/m 11x6 zie invoer	12 + 1.0	
12x6 wissel $\frac{0}{1}$ typen $\frac{1}{2}^e$ deel van 476/544 573/544	14 + .03186827	
13x6 wissel $\frac{0}{1}$ wel wortel gewichten	16 + .33920836	
14x6 wissel -1/-0/+1 -1 476/544 -0 573/544 +1 573	18 + .23777279	wortelge- wichten
15x6 t/m 17x6 ongebruikt	20 + .51268962	
	22 + .27019606	
	24 + .51268962	
	26 + .23777279	
	28 + .33920836	
	30 + .03186827	

Geheugen indeling programma's

standaard subr. niet in dood geheugen NSP

1 - 20 - 2	t/m	1 - 20 - 12	P	26
1 - 20 - 13	"	1 - 20 - 20		53
1 - 20 - 21	"	1 - 21 - 24		61
1 - 21 - 25	"	1 - 22 - 24		62
1 - 22 - 25	"	1 - 23 - 5		63
1 - 23 - 6	"	1 - 23 - 29		64
1 - 23 - 30	"	1 - 24 - 4		105
1 - 24 - 5	"	1 - 24 - 17		106
1 - 24 - 18	"	1 - 24 - 25		107
1 - 24 - 26	"	1 - 25 - 7		108
1 - 25 - 8	"	1 - 25 - 31		115
1 - 26 - 0	"	1 - 26 - 14		119
1 - 26 - 15	"	1 - 26 - 28		121
1 - 26 - 29	"	1 - 27 - 14		123
1 - 27 - 15	"	1 - 28 - 0		124
1 - 28 - 1	"	1 - 29 - 19		126
1 - 29 - 20	"	1 - 30 - 27		128
1 - 30 - 28	"	1 - 31 - 27		129
1 - 31 - 28	"	1 - 31 - 31		130
2 - 0 - 0	"	2 - 5 - 25		101

Geheugen indeling programma's

				wordt gebruikt door	476/ 544	572	573	573/ 544
2- 5-26	t/m	2-12- 2	i_{at}	x	x	x	x	x
2-12- 3	"	2-17-29	$\frac{H_{at}}{\pi}; \frac{w_{at}}{v_e}$	x	x	x	x	x
2-17-30	"	2-18-26	c_{si}/c_{Pi}	x	x	-	x	
2-18-27	"	2-21-25	teksttypen enz	x	x	x	x	x
2-21-26	"	2-22-17	Analyse meerv. autostarts	x	x	x	x	x
2-22-18	"	2-23-16	$\frac{\pi}{1-x_n} \mu F_\mu$	-	-	x	x	x
2-23-17	"	2-24-28	$A A^2$	-	-	x	x	x
2-24-29	"	2-25-27	$K; \frac{wa}{ve}; \frac{wt}{ve}$	-	-	x	x	x
2-25-28	"	2-26-10	$\tg \beta_i$	-	-	x	x	x
2-26-11	"	2-28- 4	kleine iteratie	-	x	-	-	
2-28- 5	"	2-28-22	η_{pi}	-	x	-	-	
2-28-23	"	2-29-18	$\tg \varphi$ enz	-	x	-	-	
2-29-19	"	2-30-15	$f \beta_i^{(n+1)} - f \beta_i^{(n)}$ $< \frac{1}{1024} ?$	-	x	x	x	x
2-30-16	"	2-31-12	$\int_x^{1.0} f(t) dt$	x	-	-	-	x
2-31-13	"	2-31-25	$\int_2^{1.0} f(t) dt$	x	x	-	-	x
2-31-26	"	3- 1-22	Stelsel 476; $G/\sin \varphi ; G$					
3- 1-23	"	3- 2- 7	$\tg \beta$	x	x	x	x	x
3- 2- 8	"	3- 3-18	$CL * 1/D; ([B]) * ([A] + [8x1]) \Rightarrow ([S] + [8x1])$	x	x	x	x	x
3- 3-19	"	3- 4- 2	C_{Ti}^* / C_{Pi}^*	x	-	x	x	x
3- 4- 3	"	3- 5-12	Interpolatie; $\tg \beta_i/k$	x	-	-	-	-
3- 5-13	"	3-10-27	coëff.bnm en teksttypcodes	x	x	x	x	x
3-10-28	"	3-13-31	Typpr 476/544	x	x	x	x	x

3-14-	0	t/m	3-15-	7	Hfdpr	476	x	-	-	x
3-15-	8	"	3-25-	1	Hfdpr	544	x	-	-	x
3-25-	2	"	3-25-	26	Hfdpr	572	-	x	-	-
3-25-	27	"	3-27-	0	Typpr	572	-	x	-	-
3-27-	1	"	3-27-	25	Hfdpr	573	-	-	x	x
3-27-	25	"	3-29-	19	Typpr	573	-	x	x	x
3-29-	20	"	3-31-	31	magazijn	(of ged.p 55)				